

УДК 537.311.322

ПРИМЕСНАЯ ФОТОИОНИЗАЦИЯ В КРИСТАЛЛАХ В МАГНИТНОМ ПОЛЕ

Э. П. Сияевский, Е. Ю. Сафронов

В модели потенциала нулевого радиуса исследовано примесное поглощение света в твердом теле в магнитном поле. Проведен расчет коэффициента поглощения света $K(\Omega)$ при различной конфигурации напряженности магнитного поля и напряженности электрического поля электромагнитной волны. Полученные результаты для $K(\Omega)$ и зависимости энергии связи электрона на короткодействующем центре от напряженности магнитного поля сравниваются с экспериментальными данными.

1. Модель короткодействующего примесного потенциала [1] в настоящее время находит широкое применение для описания кинетических эффектов в твердом теле. В работе [2] исследовался процесс фотоионизации короткодействующей примеси, в [3] изучалась фотоионизация слабосвязанных состояний отрицательных ионов, которые хорошо описываются методом потенциалов нулевого радиуса, в постоянном электрическом поле. Ионизация электрическим полем уровней глубоких примесей в кристаллах с неширокими разрешенными зонами подробно обсуждалась в [4]. В экспериментальной работе [5] исследовалась фотопроводимость в германии с изолированными $D^{(-)}$ состояниями (примеси Sb с энергией основного состояния 0.625 мэВ) в квантующем магнитном поле при 0.35 К.

Привлекательность модели потенциала нулевого радиуса связана с тем, что волновые функции связанного состояния и непрерывного спектра во внешних полях могут быть найдены точно, что позволяет описывать, например, такие эффекты, как кинетику электронов с учетом связанных состояний, возникающих во внешних полях.

В настоящей работе исследуются оптические свойства полупроводников с короткодействующими примесными центрами в однородном магнитном поле. При этом волновые функции и энергия связанного состояния находятся непосредственно из уравнения Шредингера с определенным образом выбранным потенциалом, что эквивалентно использованию граничных условий для логарифмической производной волновой функции [1].

2. Гамильтониан исследуемой задачи запишем в виде

$$\hat{H} = \hat{H}_0 + \hat{V}, \quad (1)$$

H_0 — гамильтониан, описывающий движение электронов во внешнем поле; оператор взаимодействия заряженной частицы с короткодействующим потенциалом описывается соотношением [1]

$$\hat{V}(\mathbf{r}) = V_0 \delta(\mathbf{r}) [1 + \mathbf{r} \nabla_{\mathbf{r}}], \quad (2)$$

V_0 определяет мощность потенциальной ямы, которая связана с феноменологическим параметром ϵ_0 — глубиной залегания уровня.

Если $G(\mathbf{r}, \mathbf{r}')$ — функция Грина

$$G(\mathbf{r}, \mathbf{r}') = \sum_{\lambda} \frac{\Psi_{\lambda}(\mathbf{r}) \Psi_{\lambda}^*(\mathbf{r}')}{E - E_{\lambda}}, \quad H_0 \Psi_{\lambda}(\mathbf{r}) = E_{\lambda} \Psi_{\lambda}(\mathbf{r}), \quad (3)$$

то волновая функция связанного состояния в поле короткодействующего потенциала (2) может быть представлена в виде

$$\Psi(\mathbf{r}) = \int G(\mathbf{r}, \mathbf{r}') \hat{V}(\mathbf{r}') \Psi(\mathbf{r}') d\mathbf{r}' = V_0 G(\mathbf{r}, 0) \bar{\Psi}(0), \quad (4)$$

$$A(0) = [1 + r\nabla_2] A(\mathbf{r})|_{\mathbf{r} \rightarrow 0} \equiv \hat{\mathcal{L}} A(\mathbf{r}).$$

Поддействуем оператором $\hat{\mathcal{L}}$ слева на соотношение (4), получим

$$V_0 \hat{\mathcal{L}}(0, 0) = 1. \quad (5)$$

Уравнение (5) определяет энергию связанного состояния электрона в потенциале нулевого радиуса в произвольном внешнем поле.

Функцию Грина для электрона в однородном магнитном поле H легко вычислить [1] ($\mathbf{H} \parallel z$)

$$G(\mathbf{r}, 0) = -\frac{me^{-\frac{ixy}{2R^2}}}{2\pi\sqrt{\pi}\hbar^2 R} \int_0^\infty e^{\Delta_0 \tau^2} \frac{d\tau}{\text{sh} \tau^2} e^{-\frac{z^2}{4R^2 \tau^2}} e^{-\frac{(x^2+y^2)}{4R^2} \text{cth} \tau^2}, \quad (6)$$

$$1 - \Delta_0 = -\frac{2E(H)}{\hbar\omega_c} \equiv 2\delta, \quad R^2 = \frac{\hbar c}{eH}, \quad \omega_c = \frac{eH}{mc},$$

$E(H)$ — энергия связанного состояния, отсчитываемая от дна зоны проводимости. Подстановка (6) в (4) приводит к следующему выражению для нормированной волновой функции связанного состояния:

$$\Psi(\mathbf{r}) = -\frac{2\hbar^2}{m} \left[\frac{\pi\sqrt{2}}{R\zeta(3/2; \delta)} \right]^{1/2} G(\mathbf{r}, 0), \quad (7)$$

$$\zeta\left(\frac{3}{2}; \delta\right) = \frac{2}{\sqrt{\pi}} \int_0^\infty \frac{x^{1/2} e^{-\delta x}}{1 - e^{-x}} dx$$

— дзета-функция Римана. При $H \rightarrow 0$ (7) переходит в известное выражение для волновой функции связанного состояния

$$\Psi^{(0)}(\mathbf{r}) = \frac{1}{\sqrt{2\pi a}} \frac{1}{r} e^{-r/a}, \quad \varepsilon_0 = \frac{\hbar^2}{2ma^2}, \quad a = \frac{V_0 m}{2\pi\hbar^2}.$$

С учетом (6) уравнение для энергии связанного состояния (5) в однородном магнитном поле принимает вид [6]

$$\int_0^\infty e^{-\delta x^2} \left[\frac{1}{1 - e^{-x^2}} - \frac{1}{x^2} \right] dx - \sqrt{\pi\delta} = -\sqrt{\frac{\pi}{2}} \frac{R}{a}. \quad (8)$$

Если $a < 0$, т. е. в отсутствие магнитного поля нет связанного состояния, $|E(H)|$ с ростом напряженности магнитного поля увеличивается (рис. 1, кривая 1). Расчет проведен при $m = 0.01m_0$, $a^{-2} = 2.5 \times 10^{11} \text{ см}^{-2}$. Именно такая зависимость энергии ионизации примеси от магнитного поля наблюдалась для образцов InSb (точками показаны экспериментальные данные [7]), в которых магнитное поле сильно уменьшает взаимодействие между примесями, так что уровни примесей отщепляются от зоны проводимости. При $a > 0$, т. е. в присутствии магнитного поля в яме существует связанное состояние — ε_0 , зависимость $|E(H)|$ от напряженности магнитного поля указана кривой 2 (рис. 1). Вычисления проводились при параметрах $m = 0.2 m_0$, $\varepsilon_0 = 0.6 \text{ мэВ}$. Точки — экспериментальные данные из работы [5], в которой исследовалась зависимость энергии связи электрона на примеси Sb (последние трактовались как $D^{(-)}$ -центры в кристалле Ge) от напряженности магнитного поля. Для глубоких примесных состояний, как непосредственно следует из (8),

$E(H)$ является менее чувствительной функцией при изменении H в разумных пределах. Кривая 3 рассчитана при $\varepsilon_0=16$ мэВ, $m=0.02 m_0$.

Волновая функция непрерывного спектра простым образом связана с функцией Грина

$$\Psi(\mathbf{r}) = \Psi_\lambda(\mathbf{r}) + \int G(\mathbf{r}, \mathbf{r}') \hat{V}(\mathbf{r}') \Psi(\mathbf{r}') d\mathbf{r}'. \quad (9)$$

С учетом явного вида примесного потенциала (2) уравнение (9) можно переписать в виде

$$\Psi(\mathbf{r}) = \Psi_\lambda(\mathbf{r}) + V_0 G(\mathbf{r}, 0) \tilde{\Psi}(0). \quad (10)$$

Выражение для $\tilde{\Psi}(0)$ легко получить, если подействовать оператором \mathcal{L} слева на уравнение (10)

$$\tilde{\Psi}(0) = \tilde{\Psi}_\lambda(0)/(1 - V_0 \tilde{G}(0, 0)). \quad (11)$$

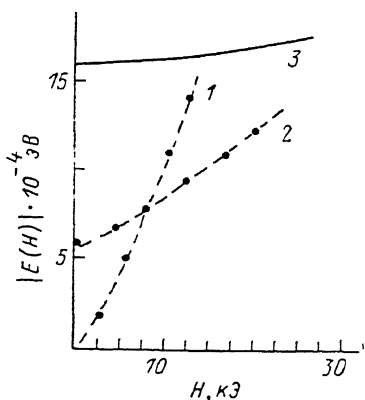


Рис. 1. Зависимость энергии ионизации связанного состояния от магнитного поля.

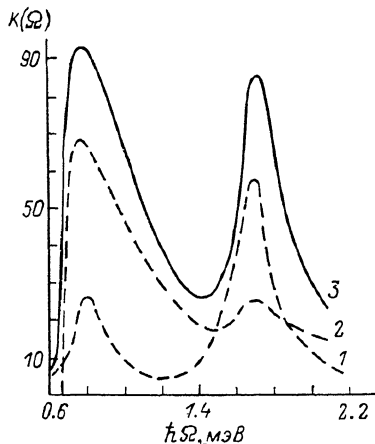


Рис. 2. Частотная зависимость коэффициента поглощения света в магнитном поле.

Подставляя (11) в (10), получим волновую функцию электрона с энергией $E = E_n = \hbar^2 k_x^2 / 2m + \hbar \omega_c (n + 1/2)$

$$\Psi(\mathbf{r}) = \Psi_n(\mathbf{r}) + V_0 \frac{G(\mathbf{r}, 0) \tilde{\Psi}_n(0)}{1 - V_0 \tilde{G}(0, 0)}. \quad (12)$$

Здесь $G(\mathbf{r}, 0)$ — функция Грина (3) с $E = E_n$, которая после интегрирования по квазимпульсу k'_x ($\lambda = n'$, k'_x , k'_x) может быть записана в следующей форме:

$$G(\mathbf{r}, 0) = -\frac{1}{2\pi L_x R^2} \sum_{n', k'_x} \frac{\exp\{-\alpha/2 + ixy + izk'_x\} L_n(\alpha)}{(n' - n) \hbar \omega_c + \hbar^2 k_x'^2 / 2m - \hbar^2 k_x^2 / 2m}, \quad (13)$$

$\alpha = (x^2 + y^2) / 2R^2$, $L_n(\alpha)$ — полиномы Лаггера,

$$\tilde{\Psi}_n(0) = \frac{1}{\sqrt{L_x L_y}} \left[\frac{1}{R^2 \pi} \right]^{1/4} \frac{1}{\sqrt{2^n n!}} e^{-k_x^2 R^2 / 2}, \quad (14)$$

$\Psi_n(\mathbf{r})$ — волновая функция электрона в магнитном поле [8].

3. В квантующем магнитном поле из-за особенности плотности состояний частотная зависимость коэффициента поглощения света $K(\Omega)$ носит осцилляционный характер. Для описания такого поведения $K(\Omega)$ необходимо учитывать последовательным образом взаимодействие электронов с колебаниями кристаллической решетки [9] или с хаотически расположенными примесями [10]. Выражение для коэффициента погло-

щения света при переходе электрона из примесного состояния ε_i в зону проводимости запишем в следующем виде [11]:

$$K(\Omega) = \frac{2\pi e^2 \Omega}{V c \hbar \sqrt{\varepsilon_0}} \sum_{i, \nu} \int_{-\infty}^{+\infty} dt \exp \left\{ -\Gamma_\nu |t| - \frac{it}{\hbar} (\varepsilon_i - \varepsilon_\nu + \hbar \Omega) \right\} |r_{i\nu}|^2 n_i (1 - n_\nu), \quad (15)$$

i, ν (n, k_x, k_z) описывают начальное и конечное состояния электрона с энергиями $\varepsilon_i = E(H)$, $\varepsilon_\nu = \hbar \omega_c n + \hbar^2 k_z^2 / 2m$ и функциями распределения $n_i, n_\nu(k_z)$; Γ_ν связана с вероятностью рассеяния носителей с излучением и поглощением одного фотона в однородном магнитном поле; $r_{i\nu}$ — матричный элемент оператора координаты на волновых функциях начального и конечного состояний; Ω — частота поглощаемой электромагнитной волны; ε_0 — диэлектрическая проницаемость; V — объем основной области кристалла. При упругом рассеянии электрона на акустических колебаниях кристаллической решетки при выполнении условия $N_q \approx \approx k_0 T / \hbar v q$ (N_q — функция распределения фононов с импульсом q) легко получить

$$\Gamma_\nu = \gamma / (R |k_z|), \quad \gamma = E_1^2 k_0 T m / 2\pi \rho v^2 \hbar^3 R, \quad (16)$$

ρ — плотность кристалла, E_1 — константа деформационного потенциала, T — температура (К).

Рассмотрим случай, когда вектор напряженности E слабого Ω -света перпендикулярен H . В этой конфигурации E и H , используя волновые функции начального (7) и конечного (12) электронных состояний, можно записать ($r_{i\nu} = x_{i\nu}$)

$$x_{i\nu} = i4R^2 \left[\frac{\sqrt{2\pi}}{\zeta(3/2; \delta) 2^n n! L_x L_z} \right]^{1/2} \frac{e^{-R^2 k_x^2 / 2}}{[2\delta + 2n + k_z^2 R^2]} \times \times \left[\frac{H_{n+1}(Rk_x)}{(2\delta + 2n + 2 + R^2 k_z^2)} + \frac{2n H_{n-1}(Rk_x)}{(2\delta + 2n + k_z^2 R^2 - 2)} \right], \quad (17)$$

$H_n(x)$ — полиномы Эрмита. Если подставить (17) в (15), провести интегрирование по k_x и k_z , просуммировать по примесным состояниям i (что приводит в рассматриваемой модели просто к умножению на число локальных центров N_s), то можно получить ($\gamma \ll \omega_c$)

$$K(\Omega)_\perp = K_0 \frac{\omega_c}{\Omega} \frac{1}{[1 + \Omega/\omega_c]^2} W(\Omega), \quad (18)$$

где введены следующие обозначения:

$$W(\Omega) = \sum_{n=0}^{\infty} \left[(n+1)! + n \left(\frac{1 + \Omega/\omega_c}{1 - \Omega/\omega_c} \right)^2 \right] J(\Delta_n), \quad \Delta_n = 1 - \left(2\delta + 2n - \frac{2\Omega}{\omega_c} \right) / \gamma_0^{1/2},$$

$$\gamma_0 = \frac{2\gamma}{\omega_c}, \quad K_0 = \frac{4\sqrt{2} e^2 N_s}{mc \sqrt{\varepsilon_0} \omega_c \zeta(3/2; \delta) \gamma_0^{1/2}}, \quad J(\Delta_n) = \int_0^{\infty} \frac{dx}{1 + x(x - \Delta_n)^2}. \quad (19)$$

Если $H \rightarrow 0$ ($\gamma_0 \rightarrow 0$), то соотношение (18) после суммирования по n приводится к виду

$$K^0(\Omega) = \frac{2^4 \pi e^2 N_s E^2(0) \hbar}{3 \sqrt{\varepsilon_0} cm (\hbar \Omega)^3} \left[\frac{\hbar \Omega}{E(0)} - 1 \right]^{3/2}, \quad (20)$$

(20) совпадает с выражением для коэффициента поглощения света, связанным с переходом электрона из донорного примесного центра в зону проводимости, вычисленным в модели Луковского [2].

На рис. 2 (кривая 1) приведена частотная зависимость $K(\Omega)_\perp$, полученная из (18), в сильных магнитных полях ($\hbar \omega_c \gg k_0 T$). При расчете использовались параметры, близкие к кристаллу Ge: $m = 0.085 m_0$, $E_1 = 16$ эВ, $v = 2 \cdot 10^5$ см/с, $\rho = 4$ г/см³ ($E(0) = 0.6$ мэВ, $N_s = 10^{14}$ см⁻³, $T =$

$=10$ К, $H=7.5$ кЭ). С ростом напряженности магнитного поля величины первого (низкочастотного) и второго пиков уменьшаются, а расстояние между ними, естественно, увеличивается. Исследуем частотную зависимость $K(\Omega)$ при $E \parallel H$. При такой конфигурации E и H расчет матричного элемента z_{iv} проведем с учетом только первого слагаемого в волновой функции непрерывного спектра (10). Как показали детальные исследования, вклад второго слагаемого не вносит изменения в коэффициент поглощения света в широких пределах изменения Ω и H . В этом приближении квадрат матричного элемента $|z_{iv}|^2$ принимает вид

$$|z_{iv}|^2 = \frac{\sqrt{2\pi} (k_z R)^2}{2^{2n} n!} \frac{e^{-R^2 k_z^2}}{e} \frac{2^5 R^4 H_n^2 (R k_z)}{\zeta(3/2; \delta) L_x L_z (2\delta + 2n + k_z^2 R^2)^4}. \quad (21)$$

Как непосредственно следует из (21), $|z_{iv}|^2$ при $k_z \rightarrow 0$ стремится к нулю; поэтому при расчете коэффициента поглощения света не возникает необходимости учитывать процессы диссипации зонных электронов в квантующем магнитном поле (в (15) можно положить $\Gamma_s=0$). Если подставить (21) в (15), то можно получить

$$K(\Omega)_{\parallel} = K_0 \sum_n \left(-\delta + \frac{\Omega}{\omega_c} - n \right)^{1/2}, \quad -\delta + \frac{\Omega}{\omega_c} \geq n, \quad (22)$$

$$K_0 = \frac{2^4 \pi e^2}{\hbar c \sqrt{\epsilon_0}} \frac{N_s R^2}{\zeta(3/2; \delta)} \left(\frac{\hbar \omega_c}{\hbar \Omega} \right)^3.$$

При $H \rightarrow 0$ соотношение (22) переходит в (20). На рис. 2 (кривая 2) приведена частотная зависимость $K(\Omega)_{\parallel}$. Вычисления проводились при параметрах, близких к Ge (см. выше). Как следует из кривой 2 (рис. 2), высокочастотный пик примесного магнетопоглощения заметно меньше, чем первый пик, который незначительно смещен в длинноволновую область относительно энергии ионизации связанного состояния ($E(H) = 0.6$ мэВ). В случае циркулярно-поляризованного света поведение $K(\Omega)$ от частоты поглощаемого света (необходимо учитывать вклады (18) и (22)) приведено на рис. 2 (кривая 3) для указанных выше параметров. Как следует из рис. 2, у второго пика магнетопоглощения величина и полуширина несколько меньше, чем у коротковолнового пика. С ростом напряженности магнитного поля расстояние между пиками увеличивается и величина второго пика (относительно первого) уменьшается. Полученные выше особенности поведения $K(\Omega)$ находятся в соответствии с экспериментальными данными работы [5], в которой исследовалось магнетопоглощение неполяризованного света изолированных $D^{(-)}$ -центров (примеси Sb в Ge).

С п и с о к л и т е р а т у р ы

- [1] Демков Ю. Н., Островский В. Н. Метод потенциалов нулевого радиуса в атомной физике. Л., 1975. 240 с.
- [2] Lucovsky G. // Sol. St. Comm. 1965. V. 3. N 2. P. 299—302.
- [3] Андреев С. П., Полушин В. А. // Опт. и спектр. 1987. Т. 62. № 2. С. 219—220.
- [4] Перельман Н. Ф., Логвинов И. Н. // ФТТ. 1978. Т. 20. № 4. С. 1045—1051.
- [5] Taniguchi Masaki, Narita Shin-ichiro // J. Phys. Jap. 1979. V. 47. N 5. P. 1503—1515.
- [6] Демков Ю. Н., Друкарев Г. Ф. // ЖЭТФ. 1965. Т. 49. № 1. С. 257—260.
- [7] Патли Е. // Фотопроводимость. М., 1967. С. 82—155.
- [8] Ландау Л. Д., Лифшиц Е. М. Квантовая механика. М., 1982. 702 с.
- [9] Коровин Л. И., Харитонов Е. В. // ФТТ. 1965. Т. 7. № 7. С. 2162—2173.
- [10] Korovin L. I., Kharitonov E. V. // Phys. St. Sol. 1966. V. 14. N 2. P. 445.
- [11] Сивяковский Э. П. Кинетические эффекты в электрон-фононных системах в поле лазерного излучения. Кишинев, 1975. 170 с.